

### บทที่ 3

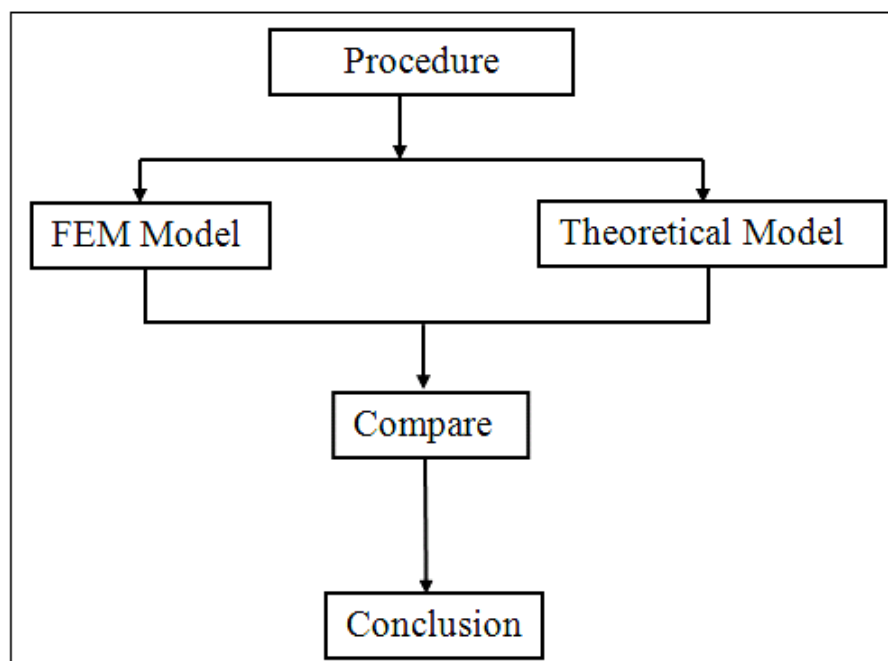
#### วิธีการวิจัย

ในบทที่ผ่านมาได้กล่าวถึงทฤษฎีที่เกี่ยวข้องกับงานวิจัยของมอเตอร์อัลตราโซนิคเชิงเส้นโค้ง ส่วนในบทนี้จะได้กล่าวถึงวิธีและขั้นตอนของการวิจัยเกี่ยวกับมอเตอร์อัลตราโซนิคเชิงเส้นโค้ง ซึ่งได้ทำการศึกษาและวิเคราะห์ผลโดยการจำลองแบบด้วยวิธีไฟไนต์เอลิเมนต์เปรียบเทียบกับแบบจำลองทางคณิตศาสตร์ ซึ่งจะได้อธิบายขั้นตอนวิธีการจำลองแบบอัลตราโซนิคมอเตอร์เชิงเส้นโค้งตามภาพประกอบที่ 3.1

#### 3.1 ระเบียบวิธีวิจัย

ระเบียบวิธีวิจัยประกอบด้วยขั้นตอนการวิจัยหลักซึ่งมีขั้นตอนต่างๆ ดังแสดงในภาพประกอบที่

3.1

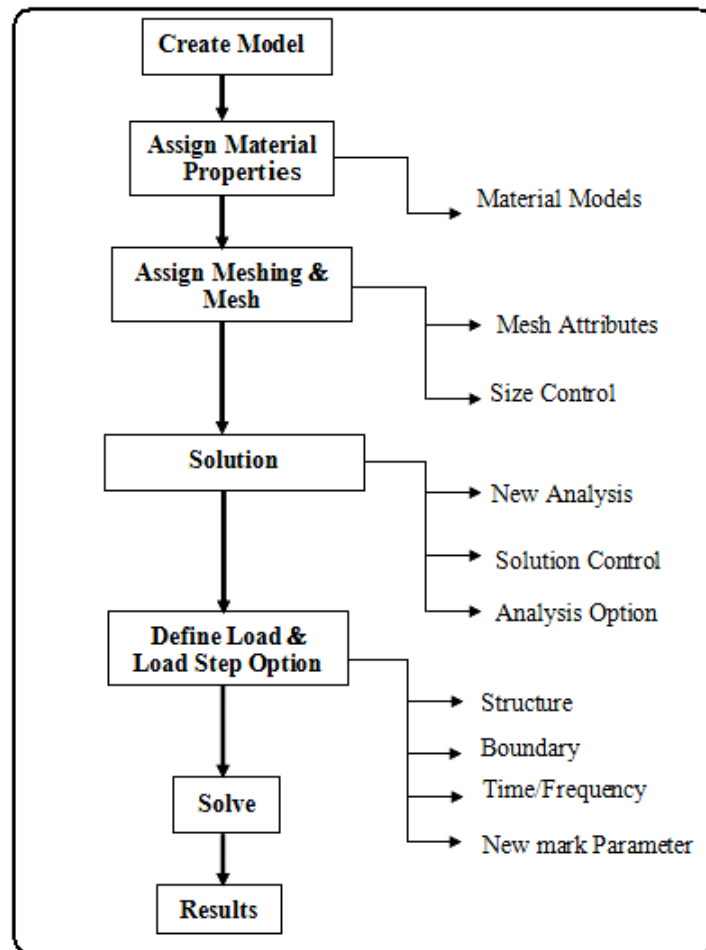


ภาพประกอบที่ 3.1 แสดงขั้นตอนของการวิจัย

การศึกษาการจำลองแบบมอเตอร์อัลตราโซนิคเชิงเส้นโค้งประกอบด้วย 4 ขั้นตอนคือ

1. **Theoretical Analysis** คือ ศึกษาโดยอาศัยสมการการเคลื่อนที่ของอัลตราโซนิคเชิงเส้นโค้งที่นำเสนอในบทที่ 2 โดยกรณีศึกษานี้กำหนดให้ Lamé's Parameter  $A_1 = R$ ,  $A_2 = 1$  และ Radii of Curvature  $R_1 = R$ ,  $R_2 = \infty$  และกรณีศึกษานี้สมมุติให้น้ำหนักของตัวทำงานเพียโซอิเล็กทริกไม่มีผลต่อการเคลื่อนที่ และในทิศทาง  $y$  ไม่คิดการเปลี่ยนแปลงขนาดรวมทั้งความเค้นและความเครียด ดังนั้นจึงพิจารณาสองทิศทางคือ ทิศทาง  $\phi$  ( $\phi = \alpha_1$ ) และทิศทาง  $3$  ( $\phi = \alpha_3$ ) ซึ่งใช้สมการการเคลื่อนที่ของเลฟในการทำนายพฤติกรรมของคานโค้ง เมื่อได้รับการกระตุ้นด้วยแรงฮาร์โมนิกส์

2. **FEM Model** คือการจำลองแบบด้วยวิธีไฟไนต์เอลิเมนต์ โดยเขียนแบบจำลองของมอเตอร์อัลตราโซนิคเชิงเส้นโค้งซึ่งมีลักษณะเป็นคานโค้งในรูปแบบที่ติดตัวทำงานเพียโซอิเล็กทริกที่แตกต่างกันตามที่ออกแบบไว้ จากนั้นกระตุ้นด้วยสัญญาณทางไฟฟ้าบนตัวทำงานด้วยสัญญาณไฟฟ้า  $\cos(\omega t)$  และ  $\sin(\omega t)$  ทั้งนี้ขึ้นอยู่กับกรอกแบบด้วยว่าจะกระตุ้นไฟฟ้า  $\cos(\omega t)$  และ  $\sin(\omega t)$  ที่ผิวด้านบนหรือด้านล่างของสเตเตอร์ จากนั้นทำการหาค่าความถี่ที่เหมาะสมที่สามารถกำเนิดคลื่นเคลื่อนที่ที่มีลักษณะเสถียรภาพคือคลื่นจะเคลื่อนที่ทิศทางเดียวตลอดคานโค้งและมีลักษณะการเคลื่อนที่สม่ำเสมอ โดยทำการเปลี่ยนค่าความถี่จากความถี่ต่ำไปยังความถี่สูงจนสามารถพบความถี่ที่สามารถกำเนิดคลื่นเคลื่อนที่ได้ ซึ่งมีขั้นตอนดังแสดงในภาพประกอบที่ 3.2



ภาพประกอบที่ 3.2 ขั้นตอนการจำลองแบบด้วยวิธีไฟไนต์เอลิเมนต์

**ขั้นตอนที่ 1 : การสร้างแบบจำลอง (Create Modeling):** เป็นขั้นตอนของการสร้างแบบจำลองของมอเตอร์ให้มีลักษณะเหมือนกับรูปร่างลักษณะและขนาดเท่ากับมอเตอร์ที่ได้ออกแบบไว้ทุกประการ เพื่อใช้ในการคำนวณทางไฟไนต์เอลิเมนต์ โดยแกนโค้งมีขนาดรัศมีความโค้งเท่ากับ 60 mm หนา 1 mm ตัวทำงานเพียโซอิเล็กทริกและวัสดุดูดซับแรงกระแทกมีความหนาเท่ากับ 0.5 mm และความยาวของตัวทำงานมีความยาวเท่ากับครึ่งหนึ่งของความยาวคลื่นและวัสดุดูดซับแรงกระแทกมีความยาวครึ่งหนึ่งของตัวทำงาน

**ขั้นตอนที่ 2 : คุณสมบัติของวัสดุ (Assign Material Properties):** เป็นขั้นตอนของการกำหนดค่าคุณสมบัติของวัสดุที่ใช้ในโครงสร้างของมอเตอร์อัลตราโซนิกส์เชิงเส้นโค้งซึ่งวัสดุที่ใช้ในการจำลองมีสามชนิดด้วยกันคือ เหล็กใช้ทำเป็นโครงสร้าง วัสดุเพียโซอิเล็กทริกใช้เป็นตัวทำงาน และวัสดุดูดซับแรงกระแทกใช้สำหรับการป้องกันการสะท้อนกลับของคลื่น โดยไม่คำนึงถึงน้ำหนักของตัวทำงานและ

วัสดุคูดซับแรงกระแทก คุณสมบัติของวัสดุที่ใช้ในมอเตอร์อัลตราโซนิกเชิงเส้นโค้งแสดงตามตารางที่ 3.1 และกรณีที่ใช้วัสดุเพียโซอิเล็กทริกที่ทำจากโพลีเมอร์เป็นตัวแทนงานจะใช้วัสดุที่มีคุณสมบัติตามตารางที่ 3.2

ตารางที่ 3.1 คุณสมบัติของวัสดุกรณีใช้ตัวแทนงาน PZT-4 (Smithmaitrie and Tzou, 2005)

	Lead Zirconate Titanate PZT-4 actuator	Steel circular arc	Silicon rubber damping material	Unit
Young's modulus	80 ( $Y_p$ )	210 ( $Y_p$ )	$4.2 \times 10^{-3}$ ( $Y_d$ )	GPa
Density	7550 ( $\rho_p$ )	7850 ( $\rho_{stator}$ )	1510 ( $\rho_d$ )	kg/m <sup>3</sup>
Poisson's ratio	0.34 ( $\mu_p$ )	0.27 ( $\mu_{stator}$ )	0.45 ( $\mu_d$ )	
Damping coefficient	-	-	0.002	
Piezoelectric constant		-	-	
$d_{31}$	$-1.2 \times 10^{-10}$	-	-	m/V
$e_{33}$	15.1	-	-	C/ m <sup>2</sup>
$e_{31}$	15.1	-	-	C/ m <sup>2</sup>
$e_{15}$	12.7	-	-	C/ m <sup>2</sup>
Permittivity	$1.15 \times 10^{-8}$ ( $\epsilon_{33}$ )	-	-	F/m

ตารางที่ 3.2 คุณสมบัติของวัสดุกรณีใช้ตัวทำงาน PVDF (Smithmaitrie, 2004)

	Lead Zirconate Titanate PZT-4 actuator	Steel circular arc	Silicon rubber damping material	Unit
Young's modulus	2 ( $Y_p$ )	210 ( $Y_p$ )	$4.2 \times 10^{-3}$ ( $Y_d$ )	GPa
Density	1780 ( $\rho_p$ )	7850 ( $\rho_{stator}$ )	1510 ( $\rho_d$ )	$\text{kg/m}^3$
Poisson's ratio	0.29 ( $\mu_p$ )	0.27 ( $\mu_{stator}$ )	0.45 ( $\mu_d$ )	
Damping coefficient	-	-	0.002	
Piezoelectric constant		-	-	
$d_{31}$	$-23 \times 10^{-12}$	-	-	m/V
$e_{33}$	0.0372	-	-	C/m <sup>2</sup>
$e_{31}$	-0.0496	-	-	C/m <sup>2</sup>
$e_{15}$	0.0016	-	-	C/m <sup>2</sup>
Permittivity	$1.062 \times 10^{-10}$ ( $\epsilon_{33}$ )	-	-	F/m

**ขั้นตอนที่ 3 : Assign Meshing & Mesh:** มีขั้นตอนย่อยสองขั้นตอนคือ Mesh Attributed เป็นขั้นตอนของการระบุว่าในโครงสร้างมอเตอร์อัลตราโซนิคเชิงเส้นโค้งตำแหน่งใดคือวัสดุประเภทใด และ Size Control เป็นการกำหนดขนาดของแบ่งเอลิเมนต์ เนื่องจากลักษณะของมอเตอร์เป็นคานโค้ง จำนวนของเอลิเมนต์มีผลต่อค่าความแม่นยำในการคำนวณกล่าวคือหากมีเอลิเมนต์จำนวนมากก็จะทำให้ค่าที่ได้เข้าใกล้ความเป็นจริงมากขึ้น แต่ขณะเดียวกันเวลาที่ใช้และประสิทธิภาพของเครื่องคอมพิวเตอร์ก็จะต้องมากและสูงตามไปด้วย จึงต้องแบ่งจำนวนเอลิเมนต์ให้เหมาะสม

**ขั้นตอนที่ 4 : Solution:** ขั้นตอนนี้สามารถแบ่งเป็นสามขั้นตอนย่อยด้วยกันคือ การเลือกวิธีวิเคราะห์ เพื่อที่โปรแกรมจะได้เลือกวิธีคำนวณ เช่นหากเป็นการคำนวณแบบ Transient ผลการคำนวณจะแสดงการเคลื่อนที่ของคลื่นออกมา โดยในขั้นตอน Solution Control ต้องกำหนดค่า Time Step ซึ่งในที่นี้

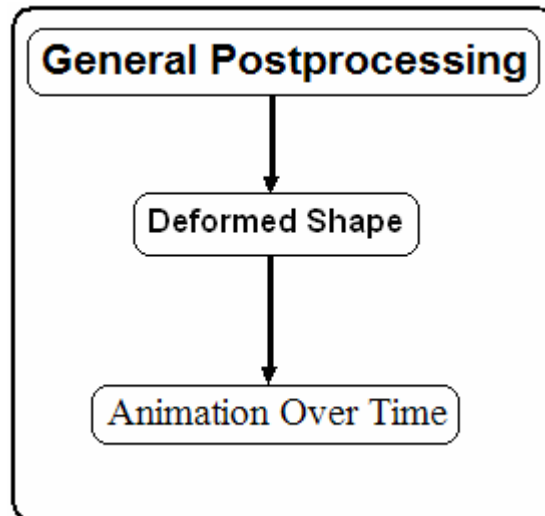
มีค่าเท่ากับ 0.0027 วินาที ส่วนค่าจำนวนของ sub step เท่ากับ 996 และ Analysis Options เป็นการระบุวิธีการคำนวณผลซึ่งในที่นี้ใช้วิธีการคำนวณแบบ Sparse Solver

**ขั้นตอนที่ 5 : Define Loads & Load Step Option:** เป็นขั้นตอนของการกำหนดค่าลงในโปรแกรมที่สำคัญสองค่าคือ แรงกระทำ และ Boundary Condition โดยในที่นี้ขั้นตอนของการกำหนดเงื่อนไขขอบซึ่งจะต้องเปลี่ยนโคออร์ดิเนตจากคาร์ทีเซียนไปเป็นทรงกระบอกเสียก่อน ต่อจากนั้นจะกำหนดเงื่อนไขขอบ คือที่ node ตรงกลางของคานโค้งจะทำการยึดทั้งแกน R และแกน  $\theta$  ส่วนที่ node อื่นๆ จะยึดเฉพาะแกน  $\theta$  เท่านั้น ส่วนการกระตุ้นไฟฟ้าบนตัวทำงานเพียโซอิเล็กทริกนั้น จะกระตุ้นด้วย  $\text{Acos}(\omega t)$  ที่ผิวด้านบนและ  $\text{Asin}(\omega t)$  ที่ผิวด้านล่างของลักษณะที่ 1 ส่วนลักษณะที่ 2 จะกระตุ้นด้วยสัญญาณทางไฟฟ้า  $\text{Acos}(\omega t)$  ที่กลุ่มที่ติดบริเวณขอบด้านล่างของคานและกระตุ้นด้วยสัญญาณทางไฟฟ้า  $\text{Asin}(\omega t)$  ที่ติดบริเวณขอบด้านบนของคานโค้ง ซึ่งลักษณะนี้จะติดตัวทำงานเฉพาะที่ผิวด้านล่างเท่านั้น และลักษณะที่ 3 ซึ่งเป็นลักษณะสุดท้ายจะกระตุ้นด้วยสัญญาณทางไฟฟ้า  $\text{Acos}(\omega t)$  ที่กลุ่มของคลื่น cosine และกระตุ้นด้วยสัญญาณทางไฟฟ้า  $\text{Asin}(\omega t)$  ที่กลุ่มของคลื่น sine สิ่งที่จะเปลี่ยนค่าได้ในขั้นตอนนี้คือค่าความถี่ ( $\omega$ ) ซึ่งสามารถเปลี่ยนไปเรื่อยๆ จนกว่าจะได้รับความถี่ทำงานที่สามารถกำเนิดคลื่นเคลื่อนที่ที่เหมาะสม จากนั้นทำการกำหนดค่ารายละเอียดต่างๆ ที่ใช้คำนวณเพิ่มเติมเพื่อให้โปรแกรมสามารถคำนวณค่าได้

**ขั้นตอนที่ 6 : Solve:** เมื่อทำทุกขั้นตอนแล้วขั้นตอนนี้จะเป็นขั้นตอนที่สั่งให้ทำการคำนวณ เวลาที่ใช้คำนวณขึ้นกับจำนวนเอลิเมนต์และประสิทธิภาพของเครื่องคอมพิวเตอร์

**ขั้นตอนที่ 7 : ผลการคำนวณ (Results):** เป็นขั้นตอนของการดูผลการจำลองซึ่งวิธีการแสดงดังภาพประกอบที่ 3.3 ผลการคำนวณที่สนใจคือ ความถี่ที่กระตุ้นกับการตอบสนองของคลื่นที่เกิดขึ้น คลื่นเคลื่อนที่ที่เหมาะสมจะมีลักษณะเคลื่อนที่ไปทิศทางใดทิศทางหนึ่งอย่างสม่ำเสมอตลอดคานโค้ง หากคลื่นที่ได้มีลักษณะดังกล่าวก็ถือว่ารูปแบบการติดตั้งและความถี่กระตุ้นสามารถนำไปออกแบบใช้งานได้ แต่หากไม่ได้ก็ต้องกลับไปเปลี่ยนความถี่กระตุ้นใหม่จนกว่าจะได้รับความถี่ที่ทำให้เกิดคลื่นเคลื่อนที่หรือเรียกว่าความถี่ทำงาน

การแสดงผลการคำนวณเพื่อตรวจสอบการเคลื่อนที่ของคลื่นเคลื่อนที่มีขั้นตอนดังแสดงในภาพประกอบที่ 3.3



ภาพประกอบที่ 3.3 แสดงขั้นตอนของการแสดงผลของการคำนวณด้วยโปรแกรมไฟไนต์เอลิเมนต์

General Postprocessing เป็นหมวดของการแสดงผลหลังจากโปรแกรมคำนวณผลเรียบร้อยแล้ว Plot Results คือคำสั่งที่ใช้แสดงผล เช่น การเปลี่ยนแปลงรูปร่าง (deformation shape) นอกจากนี้ยังมีการแสดงผลการเคลื่อนที่ของคลื่นโดยเลือกใช้ animation ซึ่งสามารถระบุช่วงเวลาที่ต้องการให้แสดงผล หากคลื่นที่ได้ไม่ใช่คลื่นเคลื่อนที่ก็ต้องย้อนกลับไปทำในขั้นตอนที่ 5 โดยเปลี่ยนความถี่กระตุ้นใหม่จนกว่าจะได้คลื่นเคลื่อนที่หรือสามารถบอกได้ว่ารูปแบบที่ได้ออกแบบไว้ไม่สามารถกำเนิดคลื่นเคลื่อนที่ได้

3. Compare เป็นขั้นตอนการยืนยันความถูกต้องของผลการจำลองที่ได้จากวิธี Theoretical Analysis และ ด้วยวิธีไฟไนต์เอลิเมนต์ (FEM Model) โดยนำผลที่ได้มาเปรียบเทียบกัน ซึ่งค่าที่ใช้คือ ค่าความถี่ทำงาน แอมพลิจูดของคลื่นเคลื่อนที่ และพฤติกรรมเคลื่อนที่ของคลื่นเคลื่อนที่ การเปรียบเทียบผลดังกล่าวสามารถบอกได้ว่าแบบจำลองของมอเตอร์อัลตราโซนิคเชิงเส้นโค้งถูกต้องหรือไม่ถูกต้อง

4. Conclusion นำค่าที่ได้จากแบบจำลองทั้งสองจากการเปรียบเทียบผลแล้วมาทำการสรุปผล หากผลที่ได้ทั้งหมดจากทั้งสองวิธีมีแนวโน้มไปในทิศทางเดียวกันถือว่าแบบจำลองนั้นถูกต้อง และจะไม่ถูกต้องหากค่าที่ได้นั้นมีความแตกต่างกัน